

量子渦の渦芯における内部自由度の 幾何学的決定法およびスピノル・ ボース凝縮への応用

東大院総合文化・東大理・慶応大日吉物理・東大工
小林未知数・小林伸吾・新田宗土・川口由紀・上田正仁

1. 内部自由度のある量子渦
2. 渦芯の幾何学的決定法
3. スピノルBECへの応用
4. まとめ

2012年9月19日 日本物理学会2012年秋季大会

内部自由度のある量子渦

スカラー-BEC (or ^4He) の量子渦：密度の穴が開く



内部自由度のある系の量子渦：異なる対称性を持つ状態が渦芯を占めてCoreless vortexとなるときがある。

- 多成分BEC：ある成分の渦芯に別の成分が入る
- Spin-1 spinor BEC：Ferro相（Polar相）の渦芯にPolar相（Ferro相）の成分が入る
- ^3He -B相：渦芯に ^3He -A相が入る
- d波超伝導：渦芯にs波の成分が入る

Coreless Vortexの波動関数をどうやって決定するか？

渦芯の内部状態はオーダーパラメーターや渦芯状態のトポロジーだけでは決まらない

系の特徴的なエネルギー汎関数（スピノルBECを例に）

$$E = \int d\mathbf{x} \left[\underbrace{\sum_i |\nabla \psi_i|^2}_{\text{運動エネルギー}} + c_0 \rho^2 + c_1 |\mathbf{F}|^2 \right]$$

運動エネルギー

Coreless Vortexの波動関数をどうやって決定するか？

渦芯の内部状態はオーダパラメーターや渦芯状態のトポロジーだけでは決まらない

系の特徴的なエネルギー汎関数（スピノルBECを例に）

$$E = \int d\mathbf{x} \left[\sum_i |\nabla \psi_i|^2 + \underbrace{c_0 \rho^2 + c_1 |\mathbf{F}|^2} \right]$$

密度 $\rho = \sum_i |\psi_i|^2$: 系の密度を決める項

Coreless Vortexの波動関数をどうやって決定するか？

渦芯の内部状態はオーダーパラメーターや渦芯状態のトポロジーだけでは決まらない

系の特徴的なエネルギー汎関数（スピノルBECを例に）

$$E = \int dx \left[\sum_i |\nabla \psi_i|^2 + c_0 \rho^2 + c_1 \underbrace{|\mathbf{F}|^2} \right]$$

スピン行列 $(F_x \ F_y \ F_z)$: 系のグローバルな相およびオーダーパラメーター空間、渦の種類を決定する。

Coreless Vortexの波動関数をどうやって決定するか？

渦芯の内部状態はオーダーパラメーターや渦芯状態のトポロジーだけでは決まらない

系の特徴的なエネルギー汎関数（スピノルBECを例に）

$$E = \int d\mathbf{x} \left[\sum_i |\nabla \psi_i|^2 + c_0 \rho^2 + c_1 |\mathbf{F}|^2 \right]$$

通常系では $c_0 \wedge c_1 \rightarrow$ 密度一定 \wedge 密度に穴が開く

- 渦芯近傍では $|\mathbf{F}|^2$ の項が無視でき、密度に穴が開かない
- 渦芯近傍では運動エネルギーの項も dominant

指導
原理

与えられた境界条件の下で、密度一定のまま運動エネルギーを最小化するような波動関数を求める

Coreless Vortexの波動関数をどうやって決定するか？

直線状の渦を考える： $\psi = \psi(r, \varphi)$

密度一定かつ任意の状態を表現する必要十分条件

$$\psi(r, \varphi) = \exp[-i\alpha(r, \varphi)] \psi_{\text{core}}$$

$$\alpha^\dagger(r, \varphi) = \alpha(r, \varphi)$$

渦芯状態からのユニタリ変換

運動エネルギーを極小にする必要十分条件

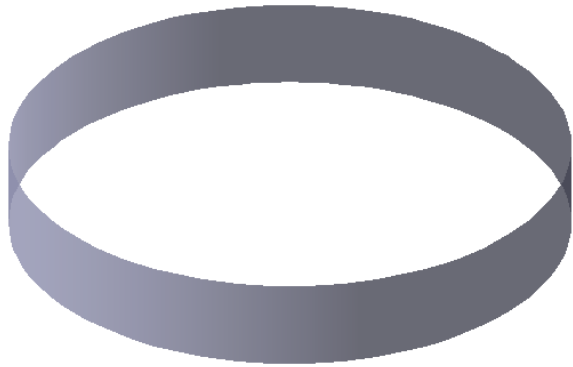
$$\left\{ \begin{array}{l} \sin^{-1} [i \{ |\psi(r, \varphi)\rangle \langle \psi_{\text{core}}| - |\psi_{\text{core}}\rangle \langle \psi(r, \varphi)| \}] \\ \text{exist and } \varphi\text{-indep} \end{array} \right.$$

$$\alpha(r, \varphi)_{i,j} = \begin{cases} \sigma_{i,j}(r) e^{i(\lambda_{i,j}\varphi + \delta_{i,j})} & i > j \\ \alpha^*(r, \varphi)_{j,i} & j > i \\ 0 & i = j \end{cases}$$

$$\sigma_{i,j}(r) \propto r^{|\lambda_{i,j}|} \text{ for } r \rightarrow 0 \text{ and } \lambda_{i,j} \neq 0$$

Coreless Vortexの波動関数をどうやって決定するか？

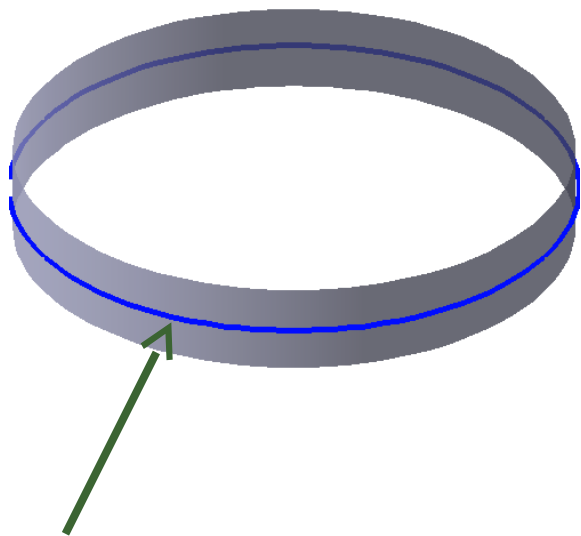
オーダーパラメーター空間



帯状にオーダーパラメーター空間があるとする

Coreless Vortexの波動関数をどうやって決定するか？

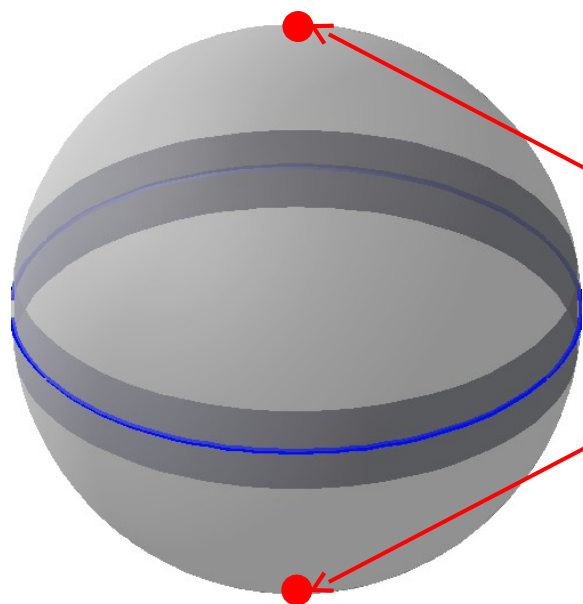
オーダーパラメーター空間



オーダーパラメーター空間で決まる
渦（境界）の状態：ループ

Coreless Vortexの波動関数をどうやって決定するか？

密度一定空間

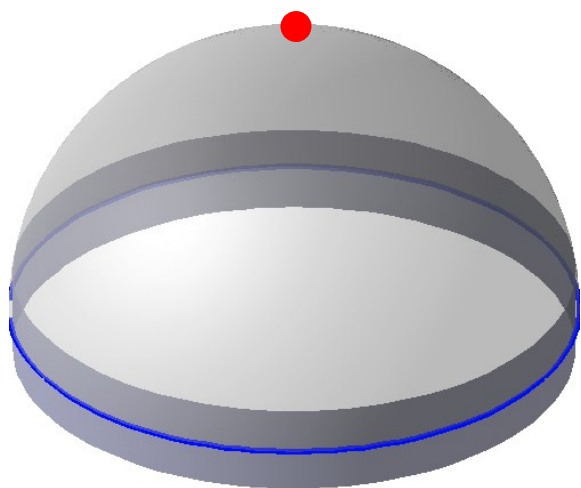


ループから（球面上で）
等距離にある点を探す
→渦芯の状態

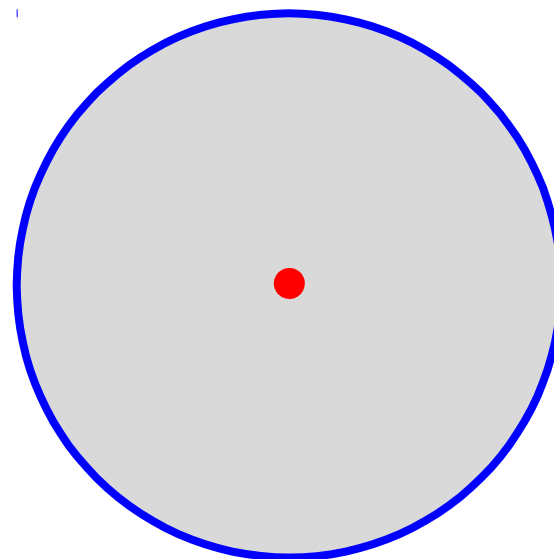
密度一定面がオーダーパラメーター空間を含んだ
球面状にあるとする

Coreless Vortexの波動関数をどうやって決定するか？

オーダーパラメーター空間



実空間



どちらか片方を選んで半球面上を実空間（円）に写像する
→エネルギーを計算し、最小となる等距離点を探す

スピノルBECへの応用

2次ゼーマンエネルギーを含めたエネルギー汎関数

$$E = \int d\mathbf{x} \left[\frac{\hbar^2}{2M} \sum_i |\nabla \psi_i|^2 + \frac{c_0}{2} \rho^2 + \frac{c_1}{2} |\mathbf{F}|^2 + q \sum_i i^2 |\psi_i|^2 \right]$$

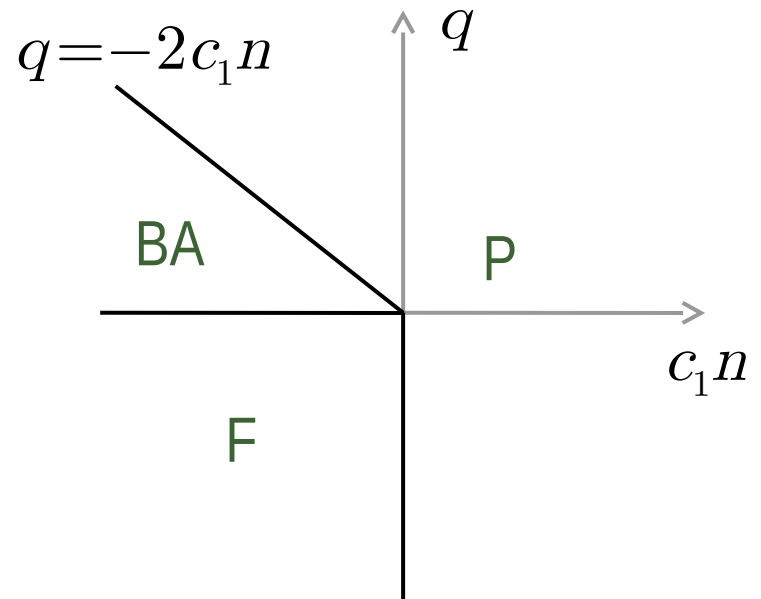
$q > 0$: magnetic field

$q < 0$: microwave

Ferromagnetic : $(1 \ 0 \ 0)^T$

Polar : $(0 \ 1 \ 0)^T$

Broken-axisymmetric : $(\sin \eta \ \cos \eta \ 0)^T$



スピノルBECへの応用

密度一定の空間： $|\psi_1|^2 + |\psi_0|^2 + |\psi_{-1}|^2 = \text{const.} \rightarrow 5$ 次元球面

Ferromagnetic相の渦： $(e^{i\varphi} \ 0 \ 0)^T$ を考える

可能な渦芯状態

- Polarコア： $(0 \ e^{i\gamma} \ 0)^T$
- Ferromagneticコア： $(0 \ 0 \ e^{i\delta})^T$
- Broken-axisymmetricコア： $(0 \ e^{i\gamma}\cos\eta \ e^{i\delta}\sin\eta)^T$

スピノルBECへの応用

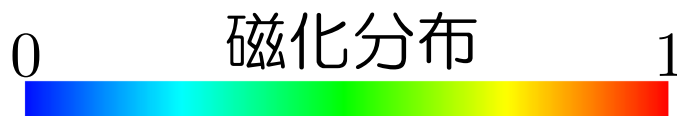
密度一定の空間： $|\psi_1|^2 + |\psi_0|^2 + |\psi_{-1}|^2 = \text{const.} \rightarrow 5$ 次元球面

Ferromagnetic相の渦： $(e^{i\varphi} \ 0 \ 0)^T$ を考える

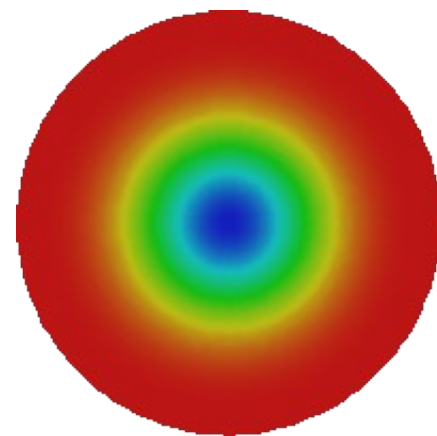
可能な渦芯状態 $\left\{ \begin{array}{l} \text{Polarコア} : (0 \ e^{i\gamma} \ 0)^T \end{array} \right.$

Polarコア波動関数： $(e^{i\varphi} h_1(r) \ (e^{i\gamma}) h_0(r) \ 0)^T$

コアに $U(1)$ の自由度がある



$$|\mathbf{F}|^2 / \rho^2$$



スピノルBECへの応用

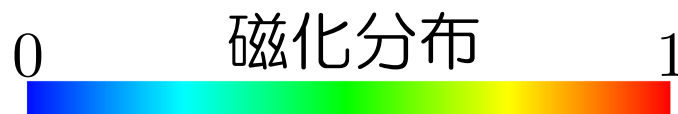
密度一定の空間： $|\psi_1|^2 + |\psi_0|^2 + |\psi_{-1}|^2 = \text{const.} \rightarrow$ 5次元球面

Ferromagnetic相の渦： $(e^{i\varphi} \ 0 \ 0)^T$ を考える

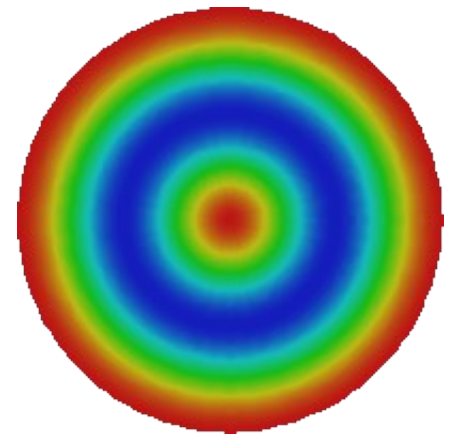
可能な渦芯状態 $\left\{ \begin{array}{l} \text{Ferromagneticコア} : (0 \ 0 \ e^{i\delta})^T \end{array} \right.$

Ferroコア波動関数： $(e^{i\varphi} h_1(r) \ 0 \ e^{i\delta} h_{-1}(r))^T$

コアに $U(1)$ の自由度がある



$$|\mathbf{F}|^2 / \rho^2$$



スピノルBECへの応用

密度一定の空間： $|\psi_1|^2 + |\psi_0|^2 + |\psi_{-1}|^2 = \text{const.} \rightarrow$ 5次元球面

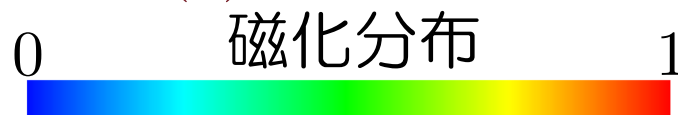
Ferromagnetic相の渦： $(e^{i\varphi} \ 0 \ 0)^T$ を考える

可能な渦芯状態

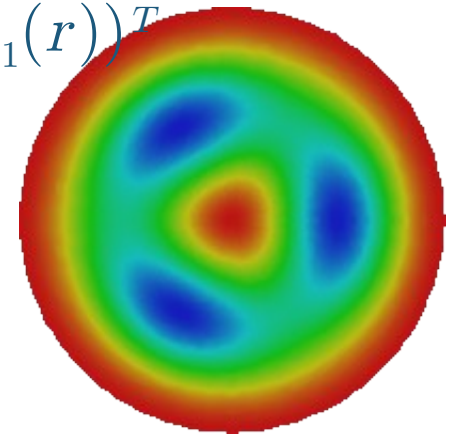
- Ferromagneticコア： $(0 \ 0 \ e^{i\delta})^T$

Ferroコア波動関数： $(e^{i\varphi} h_1(r) \ e^{i(\gamma-\varphi)} h_0(r) \ e^{i\delta} h_{-1}(r))^T$

コアに $U(1)$ の自由度がある
 コアの周囲に $U(1)$ の自由度がある



$$|\mathbf{F}|^2/\rho^2$$



スピノルBECへの応用

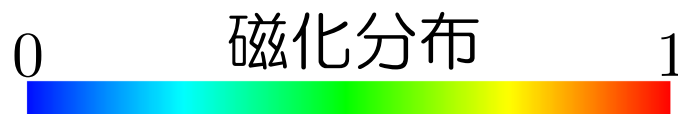
密度一定の空間： $|\psi_1|^2 + |\psi_0|^2 + |\psi_{-1}|^2 = \text{const.} \rightarrow$ 5次元球面

Ferromagnetic相の渦： $(e^{i\varphi} \ 0 \ 0)^T$ を考える

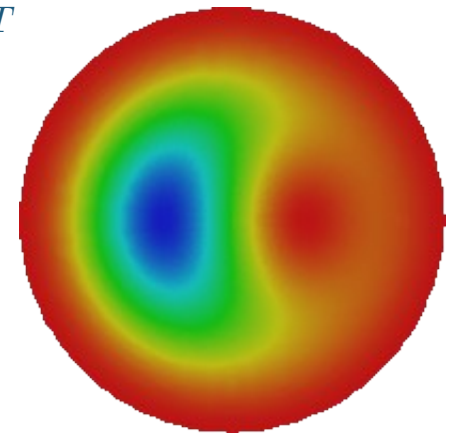
可能な渦芯状態 { Broken-axisymmetricコア： $(0 \ e^{i\gamma}\cos\eta \ e^{i\delta}\sin\eta)^T$

BAコア波動関数： $(e^{i\varphi} h_1(r) \ e^{i\gamma} h_0(r) \ e^{i\delta} h_{-1}(r))^T$

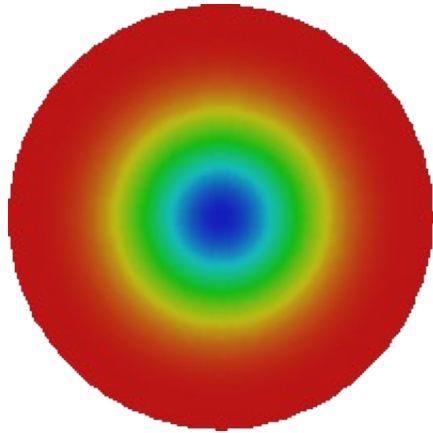
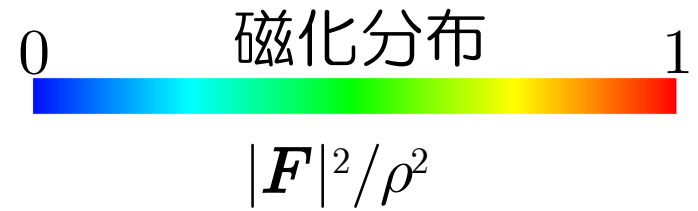
コアに $U(1) \times U(1)$ の自由度がある



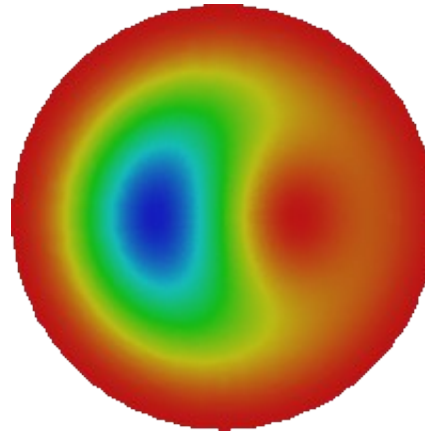
$$|\mathbf{F}|^2/\rho^2$$



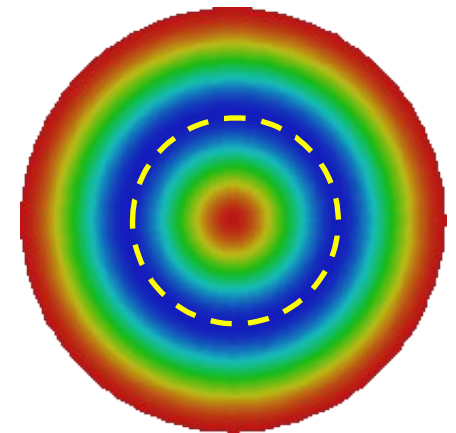
渦の特徴



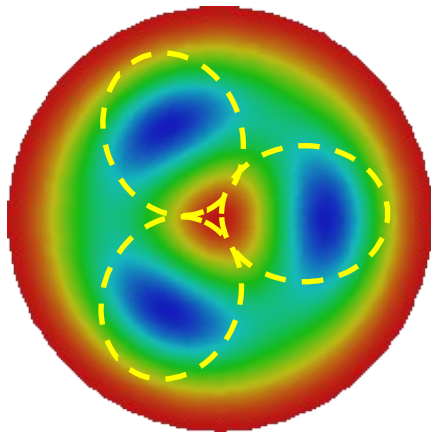
Polarが中央



Polarがずれる



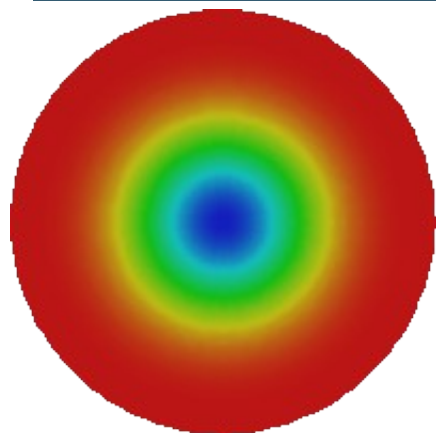
Polarリング
(1/2渦を形成)



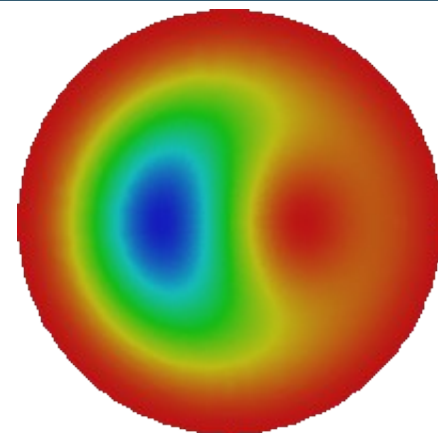
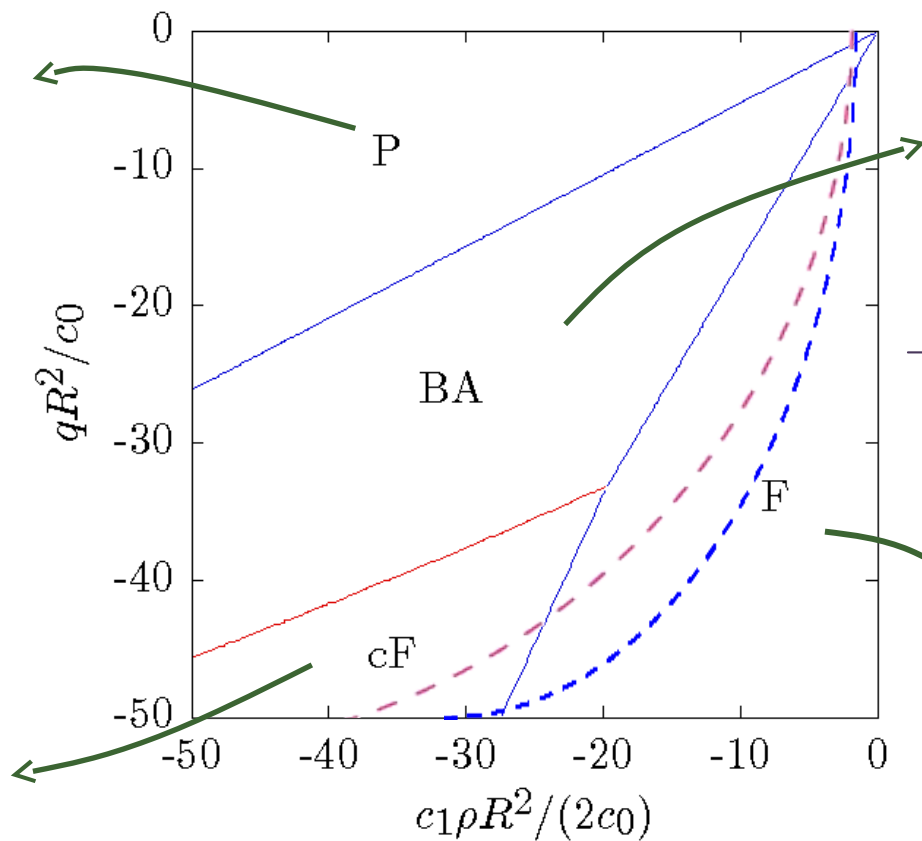
カレント1/3を持つPolarコアの渦が3本

Ferro相の渦のトポロジカルチャージ： $\circ_2 : (0,1)$
 $1+1+1=1$ (奇数本の渦と1本の渦が等価)

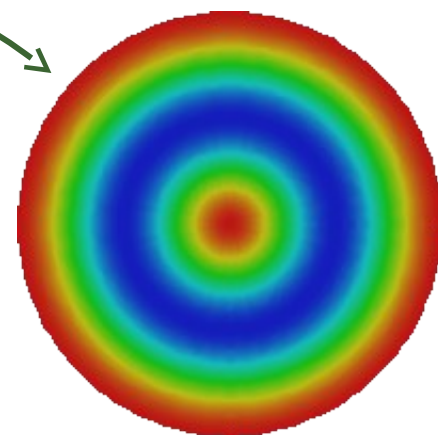
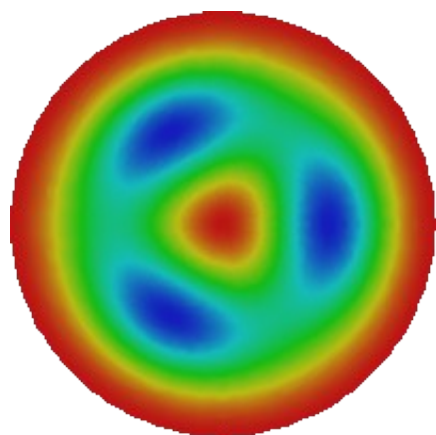
渦芯相図



R : 渦の大きさ



$-q$ のみを大きくする
縦磁化非保存
縦磁化保存



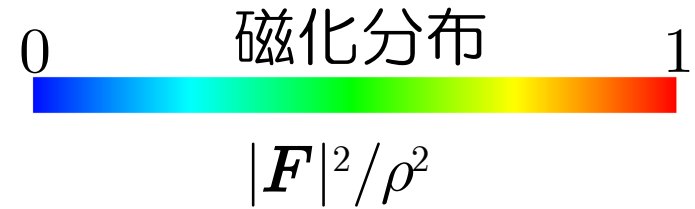
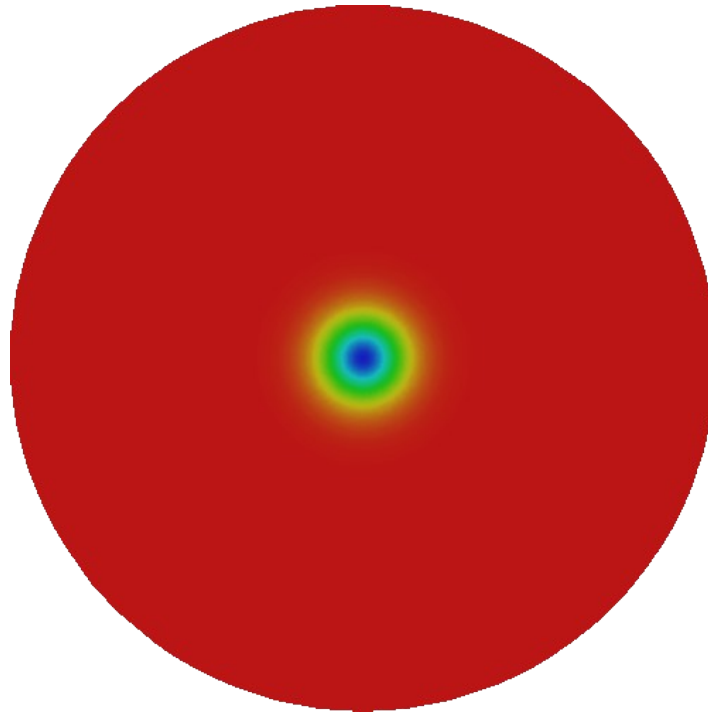
数値計算との比較(^{87}Rb の磁化分布)

$$E = \int dx \left[\frac{\hbar^2}{2M} \sum_i |\nabla \psi_i|^2 + \frac{c_0}{2} \rho^2 + \frac{c_1}{2} |\mathbf{F}|^2 + q \sum_i i^2 |\psi_i|^2 + \frac{M\omega^2 r^2}{2M} - \boldsymbol{\Omega} \cdot \mathbf{L} \right]$$

トラップ 回転

トラップ：21 Hz（長軸） 141 Hz（動径） 原子数：250000 回転振動数：25 Hz

$q/c_1\rho = 0$
縦磁化保存



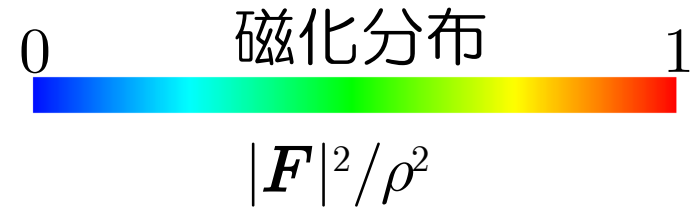
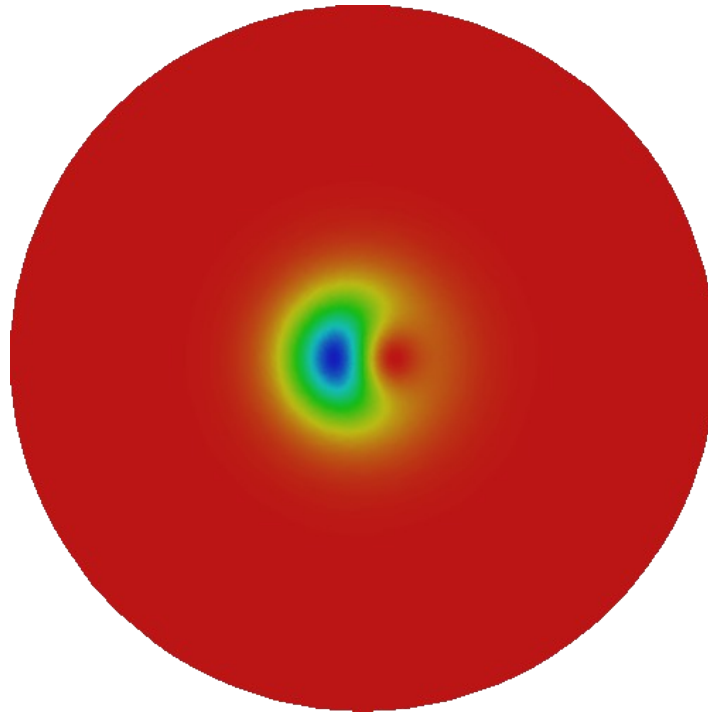
数値計算との比較(^{87}Rb の磁化分布)

$$E = \int dx \left[\frac{\hbar^2}{2M} \sum_i |\nabla \psi_i|^2 + \frac{c_0}{2} \rho^2 + \frac{c_1}{2} |\mathbf{F}|^2 + q \sum_i i^2 |\psi_i|^2 + \frac{M\omega^2 r^2}{2M} - \boldsymbol{\Omega} \cdot \mathbf{L} \right]$$

トラップ 回転

トラップ：21 Hz（長軸） 141 Hz（動径） 原子数：250000 回転振動数：25 Hz

$q/c_1\rho = 0.2$
縦磁化保存



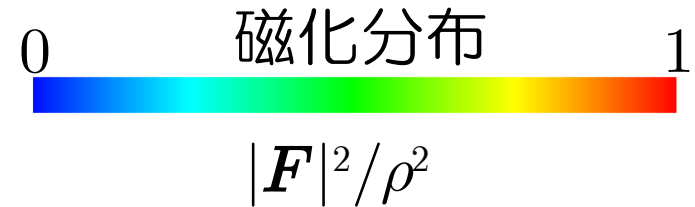
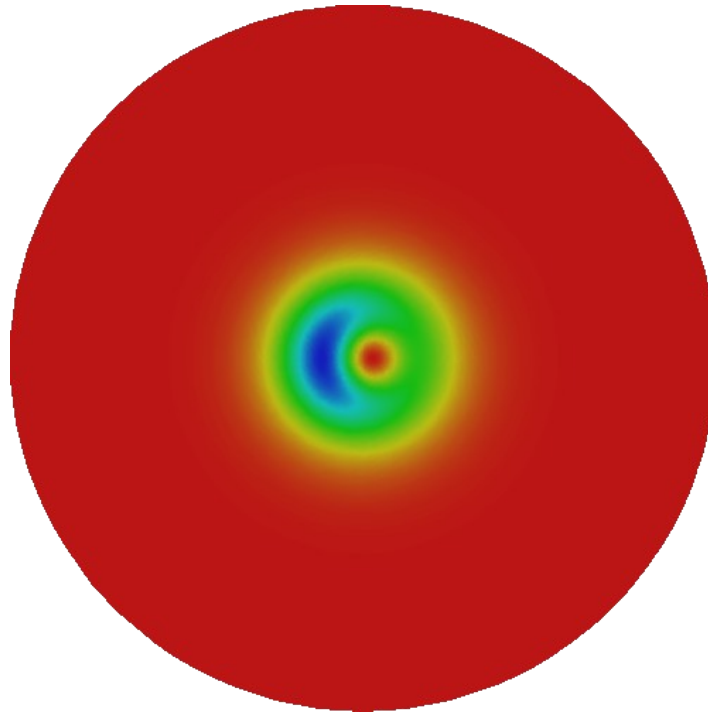
数値計算との比較(^{87}Rb の磁化分布)

$$E = \int dx \left[\frac{\hbar^2}{2M} \sum_i |\nabla \psi_i|^2 + \frac{c_0}{2} \rho^2 + \frac{c_1}{2} |\mathbf{F}|^2 + q \sum_i i^2 |\psi_i|^2 + \frac{M\omega^2 r^2}{2M} - \boldsymbol{\Omega} \cdot \mathbf{L} \right]$$

トラップ 回転

トラップ：21 Hz（長軸） 141 Hz（動径） 原子数：250000 回転振動数：25 Hz

$q/c_1\rho = 0.25$
縦磁化保存



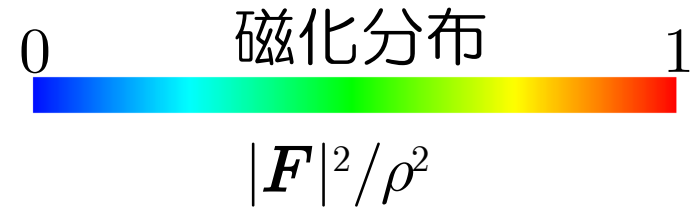
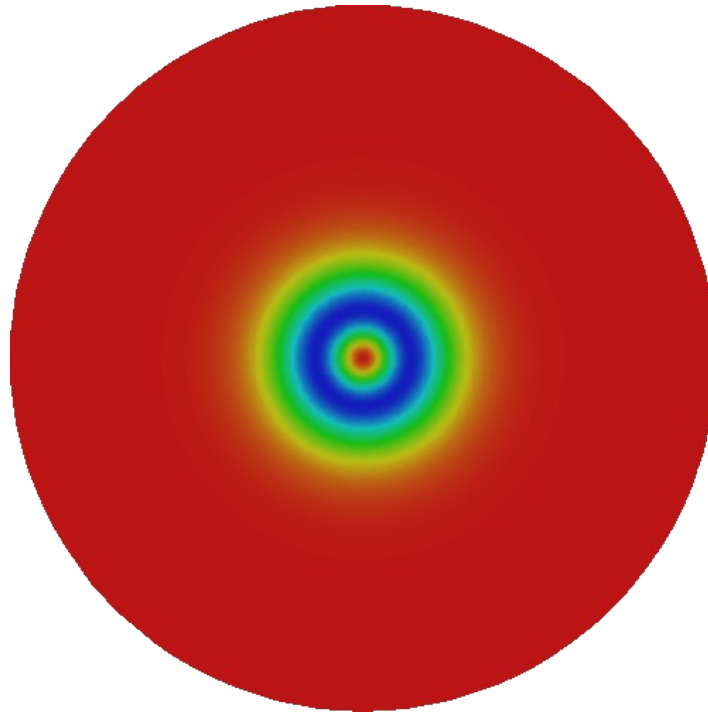
数値計算との比較(^{87}Rb の磁化分布)

$$E = \int dx \left[\frac{\hbar^2}{2M} \sum_i |\nabla \psi_i|^2 + \frac{c_0}{2} \rho^2 + \frac{c_1}{2} |\mathbf{F}|^2 + q \sum_i i^2 |\psi_i|^2 + \frac{M\omega^2 r^2}{2M} - \boldsymbol{\Omega} \cdot \mathbf{L} \right]$$

トラップ 回転

トラップ：21 Hz（長軸） 141 Hz（動径） 原子数：250000 回転振動数：25 Hz

$q/c_1\rho = 0.3$
縦磁化保存

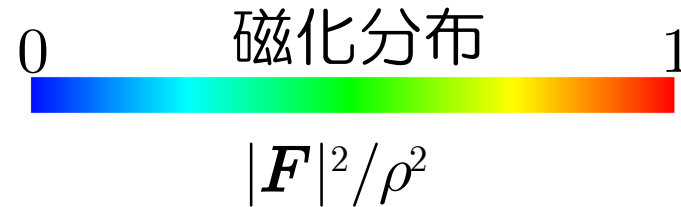
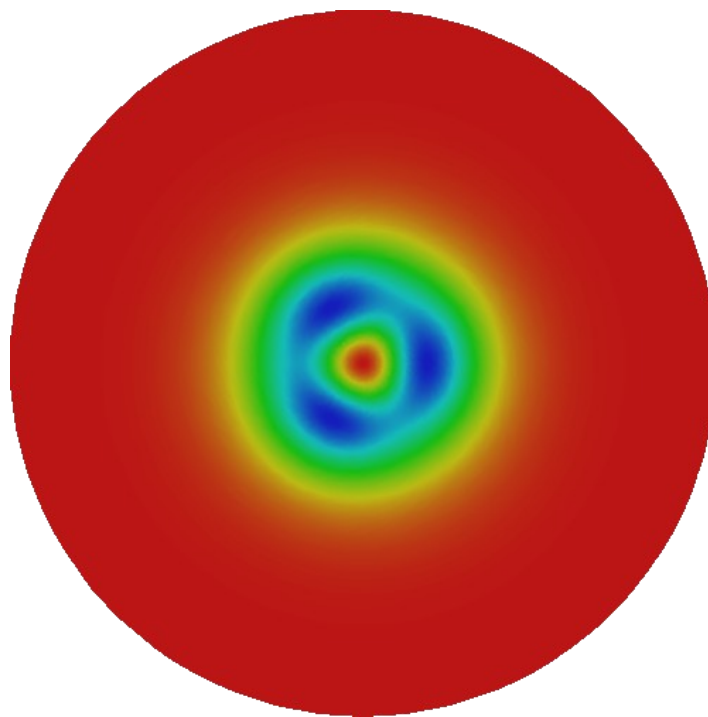


数値計算との比較(^{87}Rb の磁化分布)

$$E = \int dx \left[\frac{\hbar^2}{2M} \sum_i |\nabla \psi_i|^2 + \frac{c_0}{2} \rho^2 + \frac{c_1}{2} |\mathbf{F}|^2 + q \sum_i i^2 |\psi_i|^2 + \frac{M\omega^2 r^2}{2M} - \boldsymbol{\Omega} \cdot \mathbf{L} \right]$$

トラップ 回転

トラップ：21 Hz（長軸） 141 Hz（動径） 原子数：250000 回転振動数：25 Hz



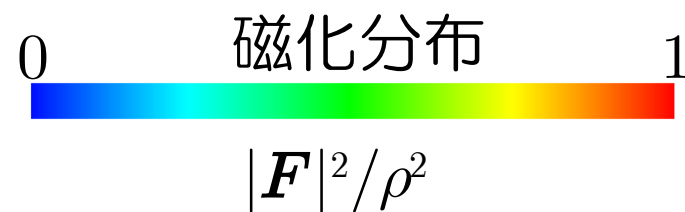
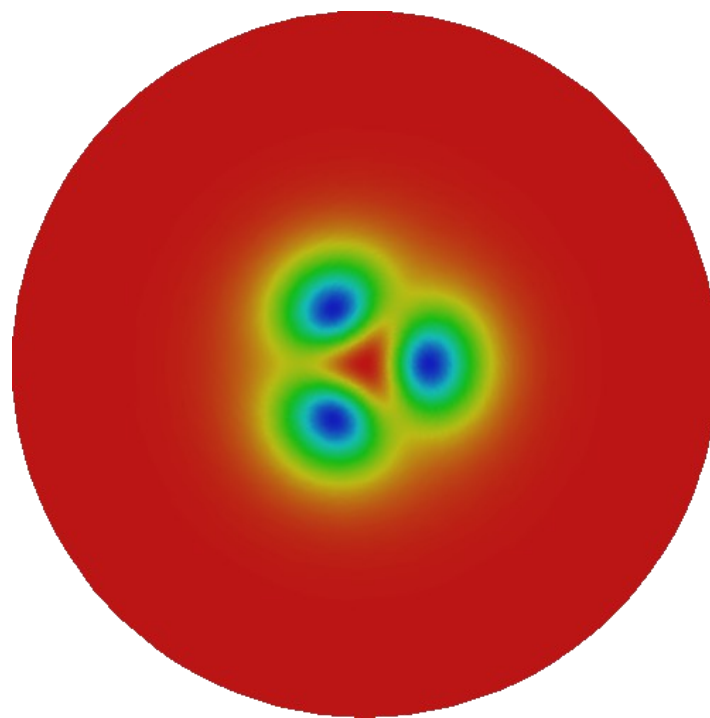
$q/c_1\rho = 0.7$
縦磁化保存

数値計算との比較(^{87}Rb の磁化分布)

$$E = \int dx \left[\frac{\hbar^2}{2M} \sum_i |\nabla \psi_i|^2 + \frac{c_0}{2} \rho^2 + \frac{c_1}{2} |\mathbf{F}|^2 + q \sum_i i^2 |\psi_i|^2 + \frac{M\omega^2 r^2}{2M} - \boldsymbol{\Omega} \cdot \mathbf{L} \right]$$

トラップ 回転

トラップ：21 Hz（長軸） 141 Hz（動径） 原子数：250000 回転振動数：25 Hz



$q/c_1\rho = 0.8$
縦磁化保存

まとめ

1. 内部自由度のある系のcoreless vortexにおける渦芯状態を決定する手法を提唱した
2. 密度一定かつ運動エネルギーを極小化するという原理を課すことにより渦芯状態を決定できる
3. Spin-1スピノルBECのFerromagnetic相の渦に適用することにより様々な種類の渦が存在し、2次ゼーマン項を操作することでそれらを操作することができる

今後の課題

1. 他の系への応用
2. 渦の励起状態（ゴールドストーンモード）の解析

${}^3\text{He-B}$ 相への応用

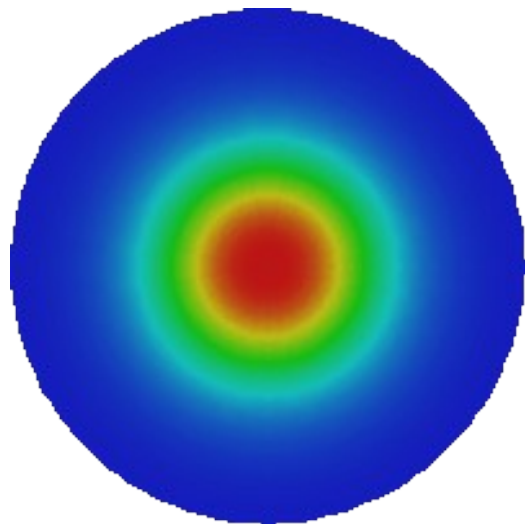
$$\text{A相} : \begin{pmatrix} 0 & 0 & 0 \\ 1 & 0 & 0 \\ 0 & 0 & 0 \end{pmatrix}$$

$$\frac{e^{i\varphi}}{\sqrt{3}} \begin{pmatrix} 0 & 0 & 1 \\ 0 & 1 & 0 \\ 1 & 0 & 0 \end{pmatrix}$$

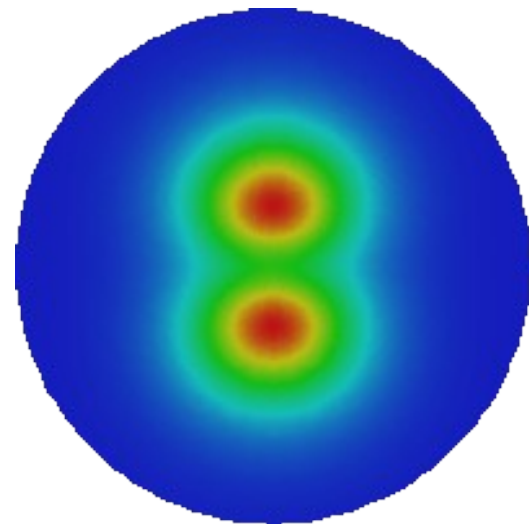


$$\text{B相} : \frac{1}{\sqrt{3}} \begin{pmatrix} 0 & 0 & 1 \\ 0 & 1 & 0 \\ 1 & 0 & 0 \end{pmatrix}$$

A相コア



Planar相コア



$$\text{Planar相} : \frac{1}{\sqrt{2}} \begin{pmatrix} 0 & 0 & 1 \\ 0 & 0 & 0 \\ 1 & 0 & 0 \end{pmatrix}$$

まとめ

1. 内部自由度のある系のcoreless vortexにおける渦芯状態を決定する手法を提唱した
2. 密度一定かつ運動エネルギーを極小化するという原理を課すことにより渦芯状態を決定できる
3. Spin-1スピノルBECのFerromagnetic相の渦に適用することにより様々な種類の渦が存在し、2次ゼーマン項を操作することでそれらを操作することができる

今後の課題

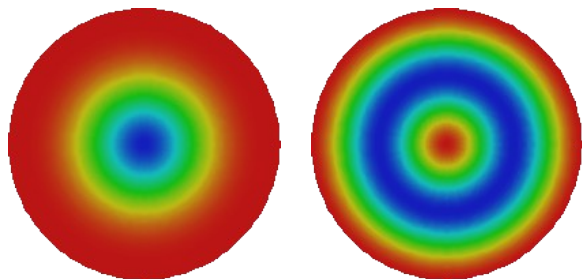
1. 他の系への応用
2. 渦の励起状態（ゴールドストーンモード）の解析

渦を含めたオーダパラメータ空間

Ferro相のmanifold : $U(1)_\phi \times SO(3)_s / U(1)_{\phi-sz} \cong SO(3)_{\text{Ferro}}$

Polarコア波動関数 : $(e^{i\varphi} h_1(r) \quad e^{i\gamma} h_0(r) \quad 0)^T$

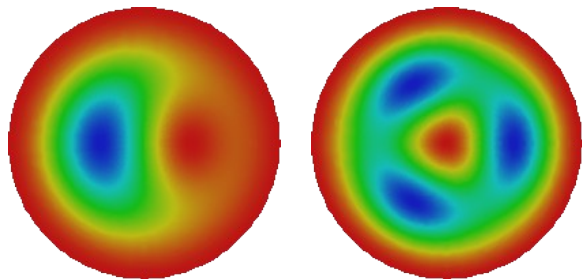
Ferroコア波動関数 : $(e^{i\varphi} h_1(r) \quad 0 \quad e^{i\delta} h_{-1}(r))^T$



$SO(3)_{\text{Ferro}} \times U(1)_{\phi-sz}$

BAコア波動関数 : $(e^{i\varphi} h_1(r) \quad e^{i\gamma} h_0(r) \quad e^{i\delta} h_{-1}(r))^T$

Ferroコア波動関数 : $(e^{i\varphi} h_1(r) \quad e^{i(\gamma-\varphi)} h_0(r) \quad e^{i\delta} h_{-1}(r))^T$



$SO(3)_{\text{Ferro}} \times U(1)_{\phi-sz} \times U(1)_{\text{anisotropy}}$

Localized Goldstone modeの存在